

## بررسی اثر تنفس شوری تحت دو شرایط روشنایی و تاریکی بر عملکرد PSII جلبک

*Dunaliella bardawil*

\*<sup>۱</sup> Ph.D، منصور شریعتی  
مریم السادات قاسمی کلاچای M.Sc.<sup>۲</sup>

۱- دانش آموخته کارشناسی ارشد، گروه زیست شناسی، دانشکده علوم، دانشگاه اصفهان

۲- گروه زیست شناسی، دانشکده علوم، دانشگاه اصفهان

\* پست الکترونیک نویسنده مسئول: mansour\_shariati@yahoo.com

تاریخ پذیرش: ۱۳۹۱/۵/۲

تاریخ دریافت: ۱۳۹۰/۱۲/۲۳

### چکیده

هدف: در این مطالعه اثر تنفس شوری بر فتوسیستم II دستگاه فتوسنتزی جلبک *Dunaliella bardawil* به عنوان گونه فتوسنتزی مدل جهت روش نمودن تاثیرات بیشتر این تنفس و ارائه راهکارهای مقابله با تنفس شوری طی مطالعات آینده بررسی شد.

مواد و روش‌ها: در این مطالعه از تکنیک OJIP-test جهت آنالیز فلوروسنسنス کلروفیل a در جلبک *D. bardawil* (سویه 2538 Utex) تحت تنفس‌های شوری ۱ به ۲ و ۱ به ۳ مولار نمک، در دو شرایط روشنایی و تاریکی استفاده گردید.

نتایج: نتایج نشان داد که در هر دو شرایط نور و تاریکی میزان پارامترهای  $\Phi_{E0}$ ,  $\Phi_{P0}$ ,  $\Phi_{Fv/F0}$ ,  $\Psi_0$  و  $PI_{ABS}$  در ابتدای اعمال تنفس بطور معنی دار کاهش یافت. در حالی که  $\Phi_{D0}$  رو به افزایش نهاد. پس از گذشت ساعات اولیه از اعمال تنفس، عملکرد PSII در نمونه‌های واقع در شرایط تاریکی افزایش نیافت و میزان  $\Phi_{D0}$  رو به افزایش نهاد. در صورتی که در نمونه‌های واقع در شرایط روشنایی با افزایش عملکرد PSII همراه بود.

نتیجه‌گیری: بر طبق نتایج، با کاهش در فعالیت کمپلکس تجزیه کننده آب، میزان انتقال الکترون به فئوفیتین،  $Q_B$  و سایر پذیرنده‌های الکترون در زنجیر انتقال الکترون فتوسنتزی کاهش می‌یابد. از این رو می‌توان گفت که کمپلکس تجزیه کننده آب نخستین مکانی است که تحت تنفس شوری آسیب می‌بیند. از جهتی بررسی دو شرایط نور و تاریکی همراه با اعمال تنفس شوری نشان می‌دهد که فتوپریود معمولی احتمالاً همراه با مکانیسم‌های واپسیه چون فتوسنتز و تولید کلروفیل سبب افزایش کارایی سیستم جلبکی در بازگشت به حالت طبیعی قبل از تنفس می‌شود.

وازگان کلیدی: تنفس، جلبک دونالیه‌لا، فتوسیستم II، OJIP تست

تولید مقدایر بالایی از کاروتون ها خصوصاً بتاکاروتون در شرایط نامساعد اشاره نمود که از لحاظ بیوتکنولوژی بسیار حائز اهمیت است (۱۲). بر پایه تحقیقات انجام شده، میزان فعالیت فتوسنتری در جلبک *Dunaliella* نیز تحت تنش شوری کاهش می‌یابد (۱۳). اما همچون سایر گیاهان اطلاعات جزئی و کامل تر در این زمینه بسیار محدود می‌باشد. گزارش شده است که تولید گلیسرول به عنوان اسمولیت اصلی، از جمله مکانسیم‌های مقابله جلبک *Dunaliella* با شرایط تنش شوری می‌باشد (۱۴ و ۱۵). که در حضور نور به طور عمدۀ از مسیر تجزیه نشاسته و به طور جزئی از مسیر فتوسنتر حاصل می‌شود ولی دیده شده است که در شرایط تاریکی تنها منبع تولید گلیسرول از تجزیه نشاسته است (۱۶). پس وجود نور نیز خود از مهم‌ترین فاکتورها جهت فتوسنتر و تامین انرژی در گیاهان و جلبک‌ها است. در عدم حضور نور، فتوسنتر متوقف شده و منبع انرژی جهت رشد و نمو و مقابله با شرایط تنش محدود می‌شود (۹).

در حال حاضر کاربرد آنالیز فلورسانس کلروفیل *a* ابزاری مفید و سودمند جهت مطالعه عملکرد فعالیت فتوسنتری تحت شرایط تنش زا است (۱۷). گزارش شده است که نشر فلورسانس کلروفیل *a*، که پس از نوردهی به یک نمونه فتوسنتری سازش یافته به تاریکی ایجاد می‌شود، همراه با تغییر در شرایط محیط تغییر می‌کند (۱۸). این نشر دارای دو فاز صعودی و نزولی است. فاز صعودی دارای چند مرحله اساسی بوده که به ترتیب با حروف O, I, J و P نشان داده می‌شود. مرحله O شدتی از فلورسانس را در مرحله ای که همه مراکز واکنش باز و آماده دریافت الکترون می‌باشند، نشان می‌دهد. J مرحله انتقال الکترون به Q<sub>A</sub> و تبدیل آن به فرم احیا (Q<sub>A</sub><sup>-</sup>) می‌باشد. در ادامه، مخزن پلاستوکوئینون (PQ) با دریافت الکترون احیا شده که در مرحله I این تغییر نمایش داده می‌شود. مرحله P، مربوط به انباشتگی الکترون در سمت پذیرنده الکترون PSI می‌باشد. به طوری که با دریافت الکترون همه کوئینون‌ها احیا و مراکز واکنش بسته شده و شدت فلورسانس به بیشترین مقدار آن می‌رسد (۱۹، ۲۰ و ۲۱). تکنیک OJIP-test که بر اساس مراحل فوق تعریف شده است، از جمله روش‌ها بر پایه آنالیز فلورسانس کلروفیل *a* است که توسط Strasser و همکاران در سال ۱۹۹۵ طراحی شد. این تکنیک گذار فلورسانس کلروفیل *a* را بر مبنای تغوری جریان انرژی در غشا زیستی اندازه گیری کرده و در نهایت کارایی سیستم فتوسنتری را تحت شرایط تنش با طیف وسیعی از پارامترها نشان می‌دهد. از این رو با توجه به

## مقدمه

شوری از جمله عوامل تنش‌زای محیطی بوده، که در بسیاری از نقاط جهان خطر جدی برای رشد گیاهان و تولید محصول است (۱). حدود ۲۰ درصد زمین‌های کشاورزی و ۵۰ درصد گندم زارهای جهان در معرض تنش شوری هستند (۲). این تنش تقریباً بسیاری از جنبه‌های رشد و گسترش گیاهان را تحت تاثیر قرار داده و سبب سمیت یونی، کمبود مواد غذایی، تنش‌های اسمنتیک و اکسیداتیو می‌شود (۳). پاسخ موجودات فتوسنتری به شرایط نامساعد محیط به توانایی سازگاری دستگاه فتوسنتری آن‌ها بستگی دارد (۴). از جمله این موارد می‌توان به تولید اسمولیت با استفاده از محصولات حاصل از فتوسنتر جهت مقابله با شرایط تنش شوری اشاره نمود (۵). شوری منجر به کاهش فعالیت فتوسنتری شده و این امر با کاهش در محتوی کلروفیل و عملکرد فتوسیستم II (PSII) همراه است (۶). تحقیقات انجام شده حاکی از آن است که که PSII از حساس‌ترین مکان‌ها در سیستم فتوسنتری، در پاسخ به شرایط تنش است. ولی به طور کلی اطلاعات اندکی در مورد تاثیر شوری بر PSII وجود دارد (۷). این کمپلکس پروتئینی از ۲۰ مولکول پلی‌پیتید و انواعی از مولکول کلروفیل و کاروتونوئید تشکیل شده است (۴). در زنجیر انتقال الکترون فتوسنتری به ازاء هر فوتون جذب شده توسط مرکز واکنش PSII، یک الکترون برانگیخته به پلاستوکوئینون A (QA) منتقل می‌شود و با الکترون حاصل از تجزیه آب بوسیله کمپلکس آزاد کننده اکسیژن جایگزین می‌شود. در ادامه، الکترون‌ها از طریق حامل الکترون پلاستوکوئینون به کمپلکس سیتوکروم b<sub>6-f</sub> منتقل شده و توسط ناقل الکترون پلاستوکوئینون به PSI می‌رسند. PSI بعد از جذب نور و انتقال الکترون برانگیخته به پذیرنده بعدی جهت تولید ATP و NADPH این الکترون را از پلاستوکوئینون دریافت می‌کند (۸). با توجه به نقش PSII در اکسایش آب و تولید اکسیژن، می‌توان گفت که از اهمیت خاصی در پاسخ سیستم فتوسنتری تحت شرایط تنش برخوردار می‌باشد (۹).

به دلیل پیچیده بودن سیستم‌های گیاهی، امروزه استفاده از جلبک‌های سبز تکسلولی، با قدرت تکثیر بالا مانند جلبک *Dunaliella* به عنوان سیستم مدل، مورد توجه محققان بوده و می‌تواند جهت بررسی و درک بهتر و سریع تر نتایج موثر باشد (۱۰ و ۱۱). این جلبک فاقد دیواره سلولی بوده، مقاوم به شوری است و می‌تواند در محیط با غلظت ۰/۱۷ تا ۵ مولار نمک (NaCl) زندگی کند. از ویژگی‌های دیگر این گونه می‌توان به

ترتیب با بزرگی ۲ و ۳ برابر، با استفاده از محیط کشت با غلظت متفاوت نمک اعمال گردید و پس از نمونه برداری از سوسپانسیون‌های جلبکی شاهد و تحت تنفس، یک میلی‌لیتر از نمونه‌های مذکور به ظرف‌های مخصوص دستگاه PEA منتقل شد. در ادامه نمونه‌ها به مدت ۱۵ دقیقه در یک محفظه تاریک قرار داده شدند تا همه مراکز واکنش باز و آماده دریافت الکترون گردند. سپس در همان محفظه با انتقال تک تک ظرف‌ها به محل مخصوص دستگاه، گذار فلورنسنس کلروفیل a بر روی هر نمونه توسط سه دیود با نور قرمز (۶۵۰ نانومتر) و طول موج ۳۲۰۰ میکرومول فوتون بر مترمربع بر ثانیه القا شد و این گذار توسط detector از ۱۰ میکروثانیه تا ۱ ثانیه ثبت گردید. داده‌های اولیه حاصل از محاسبه دستگاه به کامپیوتر منتقل و در نهایت طیف وسیعی از پارامترها که هر یک ویژگی از سیستم فتوسنتزی را بیان می‌کند، با استفاده از نرم افزار Biolizer HP4 محاسبه گردید (جدول ۱). اندازه گیری فلورنسنس کلروفیل a در زمان‌های ۰، ۱، ۴، ۸، ۱۲، ۲۴، ۳۶ و ۴۸ ساعت پس از اعمال تنفس شوری انجام شد.

جدول ۱: فهرست معانی اصلاحات استفاده شده در OJIP-test جهت آنالیز فلورنسنس کلروفیل a

داده‌های اولیه حاصل از فلورنسنس کلروفیل a توسط دستگاه PEA	
F <sub>O</sub>	میزان فلورنسنس پایه در ۱۰ میکروثانیه بعد از نور دهی
F <sub>J</sub>	میزان فلورنسنس در ۲ میلی ثانیه بعد از نوردهی
F <sub>I</sub>	میزان فلورنسنس در ۳ میلی ثانیه بعد از نور دهی
F <sub>P</sub>	حداکثر میزان فلورنسنس در بالاتر از ۳۰۰ میلی ثانیه بعد از نور دهی
پارامترهای فلورنسنس حاصل از داده‌های اولیه	
F <sub>V</sub> /F <sub>O</sub>	میزان فعالیت کمپلکس تجزیه کننده آب
Φ <sub>P0</sub>	عملکرد کواتنومی یا میزان احیای فتوفیتین و Q <sub>A</sub>
Ψ <sub>0</sub>	احتمال ورود الکترون به زنجیر انتقال الکترون یا انتقال الکtron از Q <sub>B</sub> به Q <sub>A</sub>
Φ <sub>E0</sub>	میزان انتقال الکترون در زمان صفر
Φ <sub>R0</sub>	میزان احیای پذیرنده‌های انتهایی در سمت پذیرنده الکترون PSI
Φ <sub>D0</sub>	میزان اتلاف انرژی در زمان صفر
PI <sub>ABS</sub>	شاخص کارایی بر مبنای جذب فوتون

نقش مهم PSII در سیستم فتوسنتزی و نبود اطلاعات کافی در مورد تاثیر تنفس شوری بر آن، در این مطالعه بنا نهاده شد که فعالیت بخش‌های مختلف PSII جلبک *Dunaliella* طی تنفس شوری، تحت شرایط فتوپریود معمولی (۱۶ ساعت روشنایی و ۸ ساعت تاریکی) با استفاده از روش OJIP-test (بررسی و پارامترهایی از فلورنسنس کلروفیل a که به شوری حساس ترند، مشخص شود. از جهتی دیگر اعمال تنفس شوری در شرایط تاریکی و بررسی پارامترهای فلورنسنس کلروفیل a، جهت مطالعه توانایی بخش‌های مختلف PSII در پاسخ به شوری در فقدان فتوسنتز و منبع انرژی کافی در مقایسه با شرایط روشنایی، از دیگر اهداف این تحقیق واقع شد تا بتوان از نتایج حاصل از این مطالعه، در ایجاد راهکارهای مناسب جهت مقابله با تنفس شوری در گیاهان و جلبک‌ها استفاده نمود.

## مواد و روش‌ها

آماده سازی سوسپانسیون جلبکی پایه: در این تحقیق از جلبک *Dunaliella bardawil* سویه Utex-2538 تهیه شده از کلکسیون دانشگاه تگزاس آمریکا استفاده گردید. جلبک‌ها به منظور تکثیر و نگهداری در محیط غذایی اصلاح شده جانسون و همکاران (۲۲) در غلظت ۱ مولار NaCl کشت داده شدند. سپس سوسپانسیون‌های حاصل، به اتاق کشت با شدت نور ۱۰۰ میکرومول فوتون بر مترمربع بر ثانیه، دمای ۲۵±۲ درجه سانتی گراد و فتوپریود ۱۶ ساعت تاریکی و ۸ ساعت روشنایی منتقل و بعد از گذشت ۱۵ روز و رسیدن به مرحله رشدی مناسب، از سوسپانسیون‌های موجود جهت طراحی آزمایشات استفاده شد. در ادامه بخشی از طرح آزمایش در اتاق کشت با فتوپریود معمولی و همزمان بخشی دیگر در اتاق کشت تاریک انجام شد.

اندازه گیری فلورنسنس کلروفیل a طی مطالعه فلورنسنس PEA (Plant Efficiency Analyzer) از دستگاه from Handsatech-UK) گردید. کلیه آزمایش‌ها در سه تکرار و مقایسه میانگین‌ها با استفاده از روش Repeated Measurement انجام شد.

اعمال تنفس شوری تحت شرایط فتوپریود معمولی: در این بخش تنفس‌های شوری بر روی جلبک‌های کشت شده در محیط کشت حاوی ۱ مولار نمک به صورت ۱ به ۲ و ۱ به ۳ مولار، به

انتقال الکترون فتوسنتزی و میزان احیای پذیرنده‌های انتهایی الکترون در سمت پذیرنده الکترون PSI، در ابتدای اعمال تنش بطور معنی داری کاهش می‌یابد. میزان کارایی سیستم فتوسنتزی که با شاخص  $\text{PI}_{\text{ABS}}$  (شکل ۶، الف) مشخص می‌شود، در جلکه‌های تحت تنش ۱ به ۲ مولار، مشابه کارایی سیستم در شرایط بدون تنش بوده ولی در تنش ۱ به ۳ مولار که از شدت تنش بالاتری برخوردار می‌باشد، میزان کاهش این شاخص بعد از اعمال تنش معنی دار بود. در کلیه پارامترهای مورد اشاره فوق، روند کاهشی بعد از ساعت‌های اولیه از اعمال تنش متوقف شده و روند بازیابی و رسیدن به حالت اولیه آغاز گردید و به تدریج رو به افزایش نهاد. پارامتر بعدی مورد بررسی در این مطالعه  $\Phi_{D_0}$  (شکل ۷، الف) بوده که بیانگر میزان اتلاف انرژی سیستم تحت شرایط تنش است. در تنش ۱ به ۲ مولار نمک، روندی از اتلاف انرژی بعد از اعمال این تنش مشاهده نشده ولی میزان این شاخص در تنش ۱ به ۳ مولار نمک کاملاً در مقایسه با نمونه شاهد (۱ به ۱ مولار نمک) متفاوت بوده و در ابتدای اعمال تنش بطور معنی داری افزایش یافت.

### مطالعه پارامترهای فلوئورسنسنス کلروفیل a در نمونه‌های تحت تنش شوری واقع در تاریکی

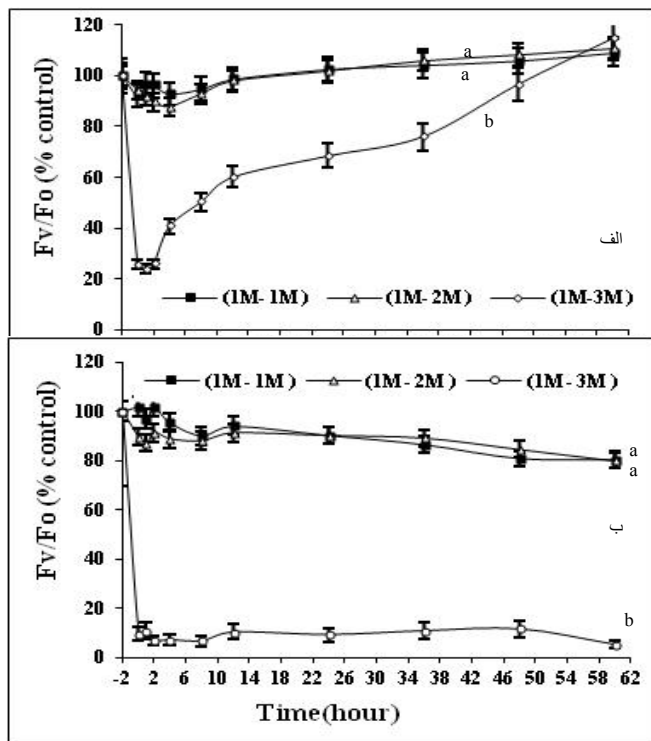
با مراجعه به نمودار پارامترهای  $\text{Fv}/\text{F}_0$  (شکل ۱، ب)،  $\Phi_{P_0}$  (شکل ۲، ب)،  $\Phi_{E_0}$  (شکل ۳، ب)،  $\Phi_{R_0}$  (شکل ۴، ب)،  $\Phi_{Q_0}$  (شکل ۵، ب) و  $\text{PI}_{\text{ABS}}$  (شکل ۶، ب) می‌توان دید که با افزایش شدت تنش شوری (۱ به ۳ مولار نمک)، میزان کلیه این شاخص‌ها در ساعت‌های اولیه بعد از اعمال تنش به طور معنی‌داری کاهش و سپس با یک روند ثابت و بدون هیچ گونه افزایشی تا پایان آزمایش ادامه یافته است. روند اتلاف انرژی با توجه به شاخص  $\Phi_{D_0}$  (شکل ۷، ب) در نمونه‌های جلبکی تحت تنش ۱ به ۳ مولار نمک بالاصله بعد از اعمال تنش بطور معنی‌داری افزایش یافته و تا پایان آزمایش، این روند افزایشی دنبال شده است. در حالی که روند تغییر این پارامتر تحت تنش ۱ به ۲ مولار مشابه نمونه شاهد (۱ به ۱ مولار نمک) می‌باشد. به طور کلی، می‌توان گفت که کلیه تغییرات مشاهده شده در تنش ۱ به ۳ مولار نمک در هر یک از پارامترهای فوق، در هر دو شرایط نور و تاریکی، در مقایسه با نمونه شاهد از نظر آماری معنی دار می‌باشد.

**اعمال تنش شوری تحت شرایط تاریکی:** روند اندازه‌گیری فلوئورسنسنス کلروفیل a در نمونه‌های تحت تنش واقع در شرایط تاریکی مشابه حالت فوق بوده با این تفاوت که همه نمونه‌های شاهد و تحت تنش در طول مطالعه و انجام آزمایش (۶۰ ساعت) در شرایط تاریکی قرار داشتند، در حالی که در نمونه‌های واقع در فتوپریود معمولی، تنها مرحله اعمال شرایط تاریکی، قبل از اندازه گیری فلوئورسنسنス کلروفیل a است.

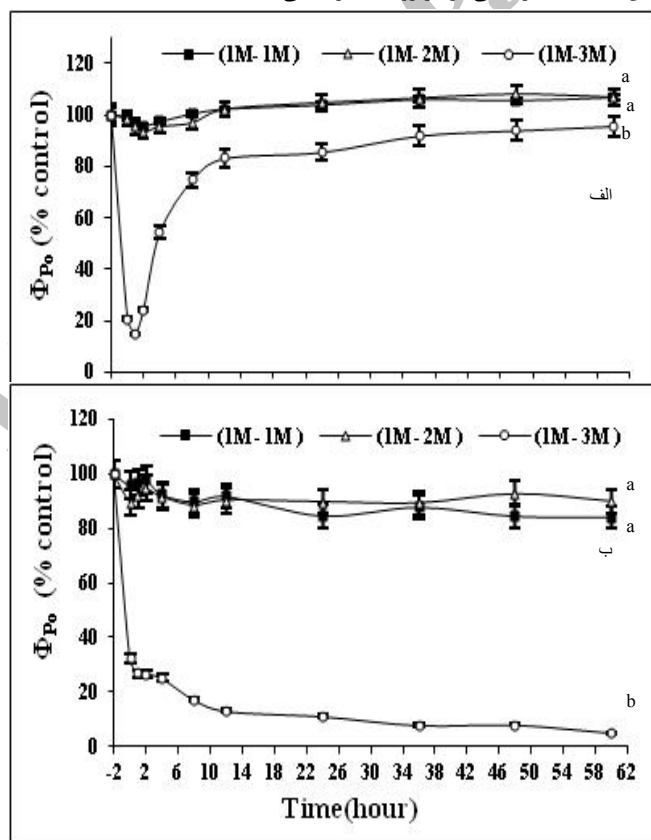
### نتایج

#### مطالعه پارامترهای فلوئورسنسنス کلروفیل a در نمونه‌های تحت تنش شوری واقع در فتوپریود معمولی

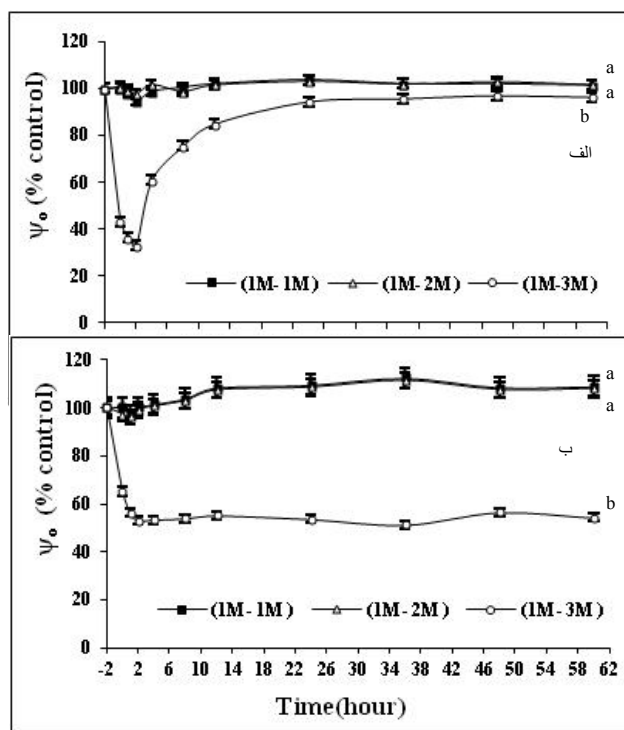
بررسی منحنی‌های شاخص  $\text{Fv}/\text{F}_0$  (میزان فعالیت کمپلکس تجزیه کننده آب) در شکل ۱، الف، نشان می‌دهد که در تنش ۱ به ۲ مولار نمک، با بزرگی ۲ برابر، میزان فعالیت کمپلکس تجزیه کننده آب مشابه نمونه شاهد (۱ به ۱ مولار نمک) است. در حالی که در ساعت‌های اولیه پس از اعمال تنش ۱ به ۳ مولار با بزرگی ۳ برابر، میزان فعالیت این کمپلکس بطور معنی‌داری به شدت کاهش می‌یابد. بر مبنای داده‌های حاصل از محاسبه شاخص  $\Phi_{P_0}$  (عملکرد کواتسومی یا میزان احیای فتوفیتین و  $Q_A$ ) در شکل ۲، الف، میزان کاهش در انتقال الکترون به فتوفیتین و  $Q_A$ ، تحت تنش شوری ۱ به ۳ مولار، نسبت به نمونه شاهد (۱ به ۱ مولار نمک) معنی دار می‌باشد. این در حالی است که تحت تنش ۱ به ۲ مولار تغییر معنی‌داری در روند انتقال الکترون به این پذیرنده‌ها مشاهده نمی‌شود. میزان انتقال الکترون از  $Q_B$  به  $Q_A$  و روند احیا شدن آن‌ها که با شاخص  $\Phi_{R_0}$  (شکل ۳، الف) نشان داده می‌شود، در تنش ۱ به ۲ مولار نمک پس از اعمال تنش در مقایسه با نمونه شاهد (۱ به ۱ مولار نمک) تغییر نکرد ولی با افزایش در بزرگی تنش کاهش معنی داری در ۷۰٪ تحت تنش ۱ به ۳ مولار نمک مشاهده شد. نتایج حاصل از بررسی پارامترهای  $\Phi_{E_0}$  (میزان انتقال الکترون در زنجیر انتقال الکترون فتوسنتزی) و  $\Phi_{R_0}$  (میزان احیای پذیرنده‌های انتهایی در سمت پذیرنده الکترون PSI) که به ترتیب در شکل ۴، الف و شکل ۵، الف نشان داده شده، بیانگر آن است که روند تغییرات در انتقال الکترون به پذیرنده‌های بعدی در زنجیر انتقال الکترون فتوسنتزی نیز مشابه پارامترهای فوق می‌باشد، به طوری که در تنش ۱ به ۳ مولار نمک برخلاف نمونه شاهد (۱ به ۱ مولار نمک)، میزان انتقال الکترون در زنجیر



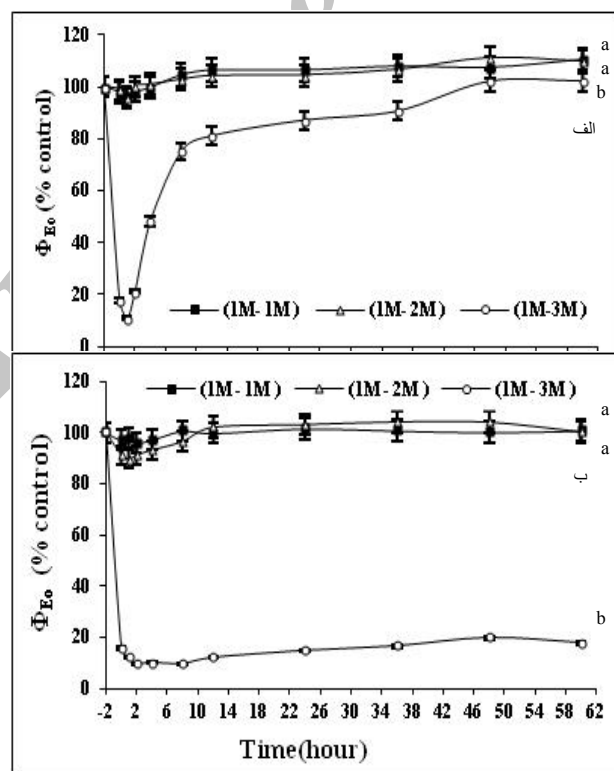
شکل ۱: روند تغییر  $F_v/F_o$  (میزان فعالیت کمپلکس تجزیه کننده آب) در جلبک *D. bardawil*. *D. bardawil* تحت تنفس ابه ۲ و ابه ۳ مولار نمک، در قیاس با شاهد (۱ به ۱ مولار نمک)، تحت دو شرایط فتوپریود معمولی (الف) و تاریکی (ب). مقایسه روند تغییرات با استفاده از روش Repeated measurement انجام شده است و حروف غیر مشابه نشان دهنده تغییر معنی دار در روند تغییرات می باشد.



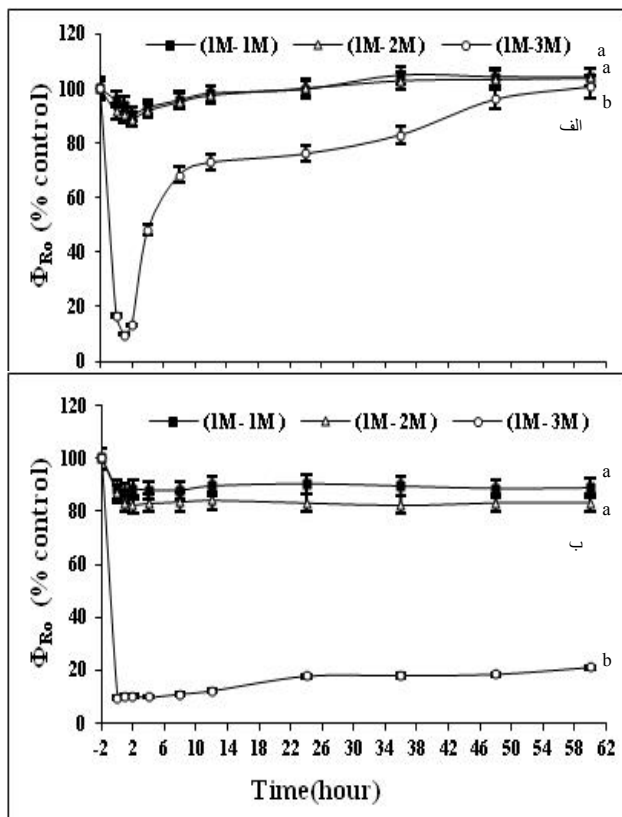
شکل ۲: روند تغییر  $\Phi_{Po}$  (عملکرد کواتنومی یا میزان احیای فتوفیتین و  $Q_A$ ) در جلبک *D. bardawil*. *D. bardawil* تحت تنفس ابه ۲ و ابه ۳ مولار نمک، در قیاس با شاهد (۱ به ۱ مولار نمک)، تحت دو شرایط فتوپریود معمولی (الف) و تاریکی (ب). مقایسه روند تغییرات با استفاده از روش Repeated measurement انجام شده است و حروف غیر مشابه نشان دهنده تغییر معنی دار در روند تغییرات می باشد.



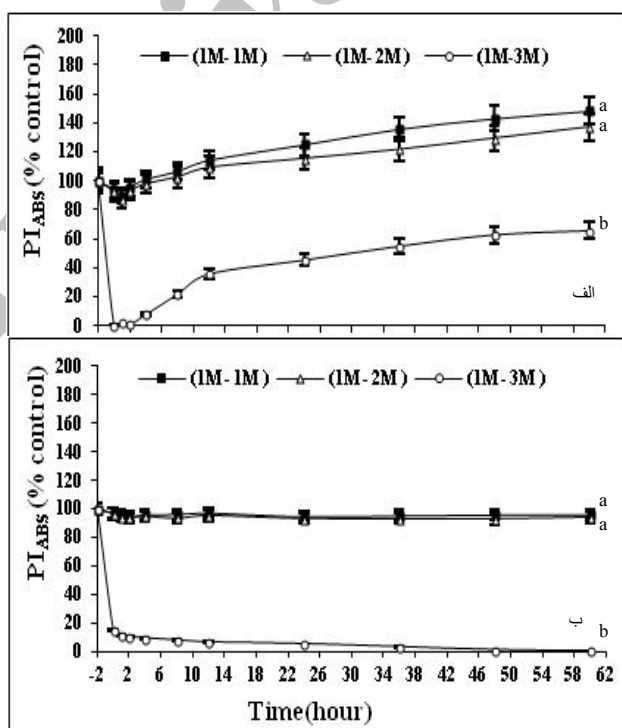
شکل ۳: روند تغییر  $\psi_0$  (احتمال ورود الکترون به زنجیر انتقال الکترون یا انتقال الکترون از  $Q_B$  به  $Q_A$ ) در جلبک *D. bardawil* تحت تنش ۱ به ۲ و ۱ به ۳ مولار نمک، در قیاس با شاهد (۱ به ۱ مولار نمک)، تحت دو شرایط فتوپریود معمولی (الف) و تاریکی (ب). مقایسه روند تغییرات با استفاده از روش Repeated measurement/Repeated measurement انجام شده است و حروف غیر مشابه نشان دهنده تغییر معنی دار در روند تغییرات می باشد.



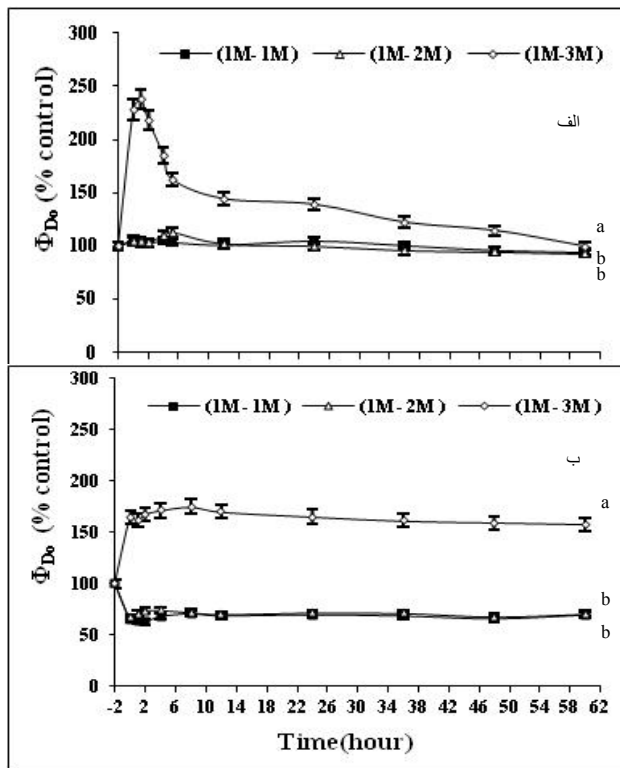
شکل ۴: روند تغییر  $\Phi_{E_0}$  (میزان انتقال الکترون در زنجیر انتقال الکترون فتوستتری) در جلبک *D. bardawil* تحت تنش ۱ به ۲ و ۱ به ۳ مولار نمک، در قیاس با شاهد (۱ به ۱ مولار نمک)، تحت دو شرایط فتوپریود معمولی (الف) و تاریکی (ب). مقایسه روند تغییرات با استفاده از روش Repeated measurement انجام شده است و حروف غیر مشابه نشان دهنده تغییر معنی دار در روند تغییرات می باشد.



شکل ۵: روند تغییر  $\Phi_{Ro}$  (میزان احیای پذیرنده‌های انتهایی در سمت پذیرنده الکترون  $PSI$ ) در جلبک *D. bardawil* تحت تنفس ابه ۲ و ابه ۳ مولار نمک، در قیاس با شاهد (۱ به ۱ مولار نمک)، تحت دو شرایط فتوپریود معمولی (الف) و تاریکی (ب). مقایسه روند تغییرات با استفاده از روش Repeated measurement انجام شده است و حروف غیر مشابه نشان دهنده تغییر معنی دار در روند تغییرات می باشد.



شکل ۶: روند تغییر  $PI_{ABS}$  (شاخص کارایی بر مبنای جذب فوتون) در جلبک *D. bardawil* تحت تنفس ابه ۲ و ابه ۳ مولار نمک، در قیاس با شاهد (۱ به ۱ مولار نمک)، تحت دو شرایط فتوپریود معمولی (الف) و تاریکی (ب). مقایسه روند تغییرات با استفاده از روش Repeated measurement انجام شده است و حروف غیر مشابه نشان دهنده تغییر معنی دار در روند تغییرات می باشد.



شکل ۷: روند تغییر  $\Phi_{D_0}$  (میزان اختلاف انرژی) در جلبک *D. bardawil* تحت تنفس ۱ به ۲ و ۱ به ۳ مولار نمک، در قیاس با شاهد (۱ به ۱ مولار نمک)، تحت دو شرایط فتوپریود معمولی (الف) و تاریکی (ب). مقایسه روند تغییرات با استفاده از روش Repeated measurement انجام شده است و حروف غیر مشابه نشان دهنده تغییر معنی دار در روند تغییرات می باشد.

PSII، کمپلکس تجزیه کننده آب باشد. که این امر منجر به کاهش انتقال الکترون به فلوفیتین و  $Q_A$ ، اولین پذیرنده های الکترون PSII (۲۶ و ۲۷) می شود. در ادامه انتقال الکترون از  $Q_A$  به  $Q_B$ ، کمپلکس سیتوکروم b<sub>6</sub>-f پلاستوسیانین و PSI کاهش فعالیت می یابد. عدم انتقال الکترون و در نتیجه کاهش فعالیت فتوشیمیایی باعث افزایش میزان اختلاف انرژی بصورت حرارت ( $\Phi_{D_0}$ ) می گردد که به خوبی در شکل ۷ الف قابل مشاهده می باشد. در واقع به نظر می رسد که افزایش اختلاف انرژی به عنوان مکانیسمی دفاعی در جهت جلوگیری از آسیب سیستم نوری فتوسنتری عمل می کند.

مطالعه فلورورسنس کلروفیل a در پاسخ به استرس شوری در گیاهان مختلف، همه حاکی از اثر منفی بر روحی فتوسیستم II می باشد. از جمله مطالعات انجام شده در این زمینه توسط دانشمندان می توان به گزارش های Allahverdiev و همکاران (۲۸) اشاره نمود که با بررسی شدت های مختلف تنفس شوری بر روی *Trianea bogotensis* karts مشاهده نمودند که میزان Sudhir Fv/Fo کاهش می یابد. و Vonshak Lu (۷) و *Spirulina platensis* و همکاران (۲۹) با مطالعه تنفس شوری بر

## بحث

تاکنون تحقیقات مختلفی در رابطه با اثر تنفس شوری بر فتوسنتر گیاهان نظیر جو (۲۳)، سورگوم (۶) و گندم (۲۴) و جلبک ها مانند *Ulva lactuca* *Porphyra perforata* (۲۵) و *Dunaliella salina* (۲۲) صورت گرفته است ولی تحقیقات جامعی در خصوص اثر تنفس شوری بر PSII جلبک *Dunaliella* وجود ندارد. داده های حاصل از اندازه گیری فلورورسنس کلروفیل a در ابتدای اعمال تنفس شوری، تحت هر دو شرایط روشناهی و تاریکی نتایج یکسانی را نشان می دهد. به طوری که در تنفس شوری با شدت پایین، هیچ یک از بخش های بررسی شده سیستم فتوسنتری در زنجیر انتقال الکترون تحت تاثیر واقع نشده در حالی که افزایش در شدت تنفس، به اختلال در عملکرد PSII منجر شده و میزان فعالیت در بخش های مختلف به شدت کاهش یافته است.

از آنجا که جلبک *Dunaliella* یک جلبک مقاوم به شوری می باشد، لذا شوری با شدت دو برابر (۱ به ۲ مولار نمک) تاثیر چندانی بر PSII نداشته اما با افزایش شدت تنفس تا ۳ برابر (۱ به ۳ مولار نمک) به نظر می رسد اولین محل اثر تنفس شوری بر

از جهتی دیگر در نمونه‌های واقع در شرایط تاریکی بعد از کاهش اولیه در عملکرد بخش‌های مختلف هیچ گونه روند بهبود مشاهده نمی‌شود. گزارش شده است که جلبک *Dunaliella* در شرایط تاریکی از ذخیره نشاسته حاصل از فتوسنتز به عنوان منبع انرژی استفاده می‌کند و در فقدان نور نشاسته تجزیه شده و باعث تولید کربوهیدرات و گلیسرول جهت مقابله با شرایط تنفس شوری می‌گردد (۳۲ و ۱۶). با توجه به محدود بودن این منبع انرژی، به نظر می‌رسد که نشاسته به عنوان تنها عامل بقاء این جلبک در شرایط تنفس شوری و تاریکی باشد. نتایج حاصل از اعمال تنفس شوری در شرایط تاریکی بر جلبک *Gracilaria sordida* نشان داده است که مقدار تجزیه نشاسته در این محیط افزایش می‌یابد (۳۳). لذا بر مبنای مطالعات انجام شده توسط محققان می‌توان گفت در نمونه‌های شاهد و تحت تنفس شوری سازش یافته با تاریکی، به علت عدم وجود نور، نداشتن انرژی کافی جهت فتوسنتز و تولید انرژی و تنها با استفاده از تجزیه نشاسته موجود در کلروپلاست به عنوان انرژی ذخیره شده و محدود حاصل از فتوسنتز به حیات خود ادامه می‌دهند و این مقدار از انرژی ذخیره شده تنها به حفظ نسبی حیات سلول‌های جلبکی کمک می‌کند. از این رو این نمونه‌ها برخلاف نمونه‌های واقع در فتوپریود معمولی خصوصاً در تنفس های شوری با شدت بالا توانایی بازگشت به حالت بدون تنفس را ندارند.

### نتیجه گیری

در مجموع با توجه به موارد بحث شده در بالا می‌توان گفت که در PSII زنجیر انتقال الکترون فتوسنتزی، کمپلکس تجزیه کننده آب از مهم‌ترین بخش‌های PSII بوده و به نظر می‌رسد اولین مکانی است که تحت تنفس شوری آسیب می‌یابند. طی این امر فرایند جبران الکترون ناشی از برانگیختگی مرکز واکنش PSII دچار اختلال می‌شود و در ادامه انتقال الکترون به سایر پذیرنده‌های زنجیر انتقال الکترون فتوسنتزی و به طور کلی میزان کارایی سیستم فتوسنتزی کاهش می‌یابد. از جهتی بررسی دو شرایط وجود نور و تاریکی همراه با تنفس شوری به خوبی تایید می‌کند که بر پایه مطالعات انجام شده توسط محققان تابش نور و در پی آن فعالیت سیستم فتوسنتزی، تولید انرژی و اسمولیت گلیسرول و سایر فرایندهای وابسته توانایی این جلبک را در جهت سازگاری با شرایط جدید و بازگشت به حالت طبیعی قبل از تنفس افزایش می‌دهد.

به این نتیجه رسیدند که تحت تنفس شوری میزان انتقال الکترون فتوسنتزی رو به کاهش می‌نهد. از جهتی کاهش در عملکرد کوانتمی واکنش‌های فتوشیمیایی اولیه تحت تنفس شوری در گیاهان گندم (۲۴)، و سورگوم (۶) از دیگر مطالعات انجام شده در این زمینه می‌باشد (۳۰). مطالعه تنفس شوری بر *Vinga* و *Brassica juncea Coss* و *radiate L.* مقدار  $\Phi_{P0}$  و  $\Psi_0$  کاهش می‌یابد (۱۹). با مقایسه دقیق بین تحقیقات انجام شده توسط دانشمندان فوق و نتایج حاصل از این تحقیق، علی رغم تشابه کلی در روند تغییر این پارامترها تحت تنفس شوری، می‌توان گفت که فلوروسنس کلروفیل a تحت تنفس شوری، در این تحقیق در مقایسه با تحقیقات گذشته نسبتاً کامل‌تر و از جنبه‌های مختلف بررسی شده است و با مطالعه همزمان طیف گستردگی از پارامترها این امکان فراهم شد که محل دقیق اثر تنفس شوری بر PSII مشخص گردد.

از دیگر ویژگی‌های مورد بحث در این تحقیق کارایی سیستم فتوسنتزی است که با شاخص  $PI_{ABS}$ ، مشخص می‌شود. این پارامتر با تکیه بر کارایی جذب نور، عملکرد کوانتمی واکنش‌های فتوشیمیایی اولیه و عملکرد کوانتمی انتقال الکترون محاسبه می‌گردد (۳۱). تغییرات آن می‌تواند به طور کامل کارایی سیستم فتوسنتزی را نشان دهد که نتایج حاصل از این پارامتر نیز کاهش کارایی فتوسنتزی را در شدت‌های تنفس بالاتر در ساعت اولیه نشان می‌دهد. اما پس از گذشت حدود ۱۰ تا ۱۴ ساعت در حضور نور کلیه پارامترهای مورد اشاره بازیابی شده و در برخی پارامترها به حدود مقدار اولیه افزایش می‌یابد. به نظر می‌رسد که در نمونه‌های جلبکی، همراه با مکانیسم‌هایی چون تقسیم سلولی، تولید کلروفیل، انجام فتوسنتز و وجود منبع انرژی کافی (داده‌ها نشان داده نشده است) و احتمالاً تولید گلیسرول (۳۲)، تغییرات زنی و تولید پروتئین‌های خاص (۱۰) و در نهایت به دنبال بهبود وضعیت کمپلکس تجزیه آب، میزان انتقال الکترون بهبود یافته و میزان اتلاف انرژی بصورت حرارت کاهش می‌یابد و انجام واکنش‌های نوری فتوسنتزی خصوصاً PSII به شرایط طبیعی قبل از تنفس نزدیک می‌شود. گزارش شده است که جلبک *Dunaliella* پس از اعمال تنفس شوری پلاسمولیز شده و سپس در حضور نور با تشکیل گلیسرول پتانسیل اسمزی خود را بازیابی می‌کند و به حالت اولیه بر می‌گردد که این امر در بازگشت فعالیت دستگاه فتوسنتزی به حالت طبیعی تاثیر بسزایی دارد (۱۶).

*Dunaliella bardawil*. Indian J Exp Biol. 2011; 49: 234-240.

13. Gilmour DJ, Hipkins F, Boney AD. The effect of salt stress on the primary processes of photosynthesis in *Dunaliella tertiolecta*. Plant Sci. 1982; 26: 325-330.

14. Ben-Amotz A, Sussman I, Avron M. Glycerol production by *Dunaliella*. Experientia. 1982; 38: 49-52.

15. Hadi MR, Shariati M, Afsharzadeh S. Microalgal biotechnology: carotenoid and glycerol production by the green algae *Dunaliella* isolated from the Gave-Khooni salt marsh, Iran. Biotechnol Bioproc Eng. 2008; 13: 540-544.

16. Brown A.D, Borowitzka L.J. Halotolerance of *Dunaliella*. In Levandowsky M, Hunter SH, (eds). Biochemistry and Physiology of Protozoa. New York. Academic Press. 1979; 139-189.

17. Baker NR. Chlorophyll Fluorescence: A probe of photosynthesis *in vivo*. Annu Rev Plant Physiol. 2008; 59: 89-113.

18. Srivastava A, Strasser A. Strasser and Strasser management of land plants during a regular day. J Plant Physiol. 1996; 148: 445-455.

19. Misra AN, Srivastava A, Strasser RJ. Utilization of fast chlorophyll fluorescence technique in assessing the salt/ion sensitivity of mung bean and *Brassica* seedlings. J Plant Physiol. 2001; 158: 1173-1181.

20. Papageorgiou, G.C, Govindjee, A. Chlorophyll a fluorescence: a signature of photosynthesis. Advances in Photosynthesis and Respiration. 1<sup>th</sup> Ed. Dordrecht: Springer; 2004.

21. Strasser B.J, Strasser R.J. Measuring fast fluorescence transients to address environmental questions: The JIP test. In: Mathis P, (eds). Photosynthesis: from light to biosphere. The Netherlands: Kluwer Academic; 1995; 977-980.

22. Shariati M, Madadkar Haghjou M. Effect of salt stress on beta-carotene and Chlorophyll accumulation of green alga *Dunaliella salina*, isolated from salt marsh of Gavkhooni, Isfahan. Sci Res bull Isfahan Univ. 2000; 14(2); 55-66. [Persian].

23. Belkhodja RF, Morales A, Abadia A, Gomes-Aparisi, et al. Chlorophyll fluorescence as a possible tool for salinity tolerance screening in barely (*Hordeum vulgare*). Plant Physiol. 1994; 104: 667-673.

24. Zair I, Chlyah A, Sabounji K, Tittahsen M, et al. Salt tolerance improvement in some wheat cultivars after application of *in vitro* selection pressure. Plant Cell Tiss Org. 2003; 73: 237-244.

## تشکر و قدردانی

بدین وسیله از تحصیلات تكمیلی دانشگاه اصفهان به خاطر حمایت مالی در انجام این تحقیق قدردانی می‌گردد. نویسندها مقاله از قطب تنفس های گیاهی در دانشگاه اصفهان نیز تشکر و قدردانی می نمایند.

## منابع

1. Dadashi MR, Majidi Hervan I, Noorinia AA. Evaluation of different genotypes of barley to salinity stress. J Agri Sci. 2007; 1: 181-190. [Persian].
2. Flowers TJ, Yeo AR. Breeding for salinity resistance in crop plants: where next? Aust J Plant Physiol. 1995; 22(6): 875-884.
3. Munns R. Comparative physiology of salt and water stress. Plant Cell Environ. 2002; 25: 239-250.
4. Allahverdiyev S, Atilla A, Ismail BS, Sahmurova A. Response of photosystem II and photosynthetic pigments to salt and Baikal EM1 in tree seedlings. Afr J Biotechnol. 2011; 10 (4): 535-538.
5. Yokthongwattana K, Melis A. Photoinhibition and recovery in oxygenic photosynthesis: mechanism of a photosystem II damage and repair cycle. In Demmig- Adams B, Adams WW, Matto AK, (eds). Photoprotection, photoinhibition, gene regulation and environment. Berlin: Springer; 2005; 175-191.
6. Netondo GW, Onyango JC, Beck E. Sorghum and salinity: II. gas exchange and chlorophyll fluorescence of sorghum under salt stress. Crop Sci. 2004b; 44: 806-811.
7. Lu C, Vonshak A. Characterization of PSII photochemistry in salt-adapted cells of cyanobacterium *Spirulina platensis*. New Phytol. 1999; 141(2): 231-239.
8. Allen JP, Williams JC. Photosynthetic reaction centers. FEBS Letters. 1998; 438(5): 5-9.
9. Taize, L, Zeiger, E. Plant physiology. 2<sup>th</sup> Ed. Sunderland, Massachusetts; Sinauer Association, Publishers; 1998.
10. Glenn EP, Brown JJ, Blumwald E. Salt tolerance and crop potential of halophytes. CRC Crit Rev Plant Sci. 1999; 18: 227-255.
11. Madadkar Haghjou M. Induction of paraquat tolerance in *Dunaliella* by using some pre-treatments. J Plant Biol. 2011; 3 (10): 71-86. [Persian].
12. Ramakrishna A, Dayananda C, Giridhar P, Rajacekaran T, et al. Photoperiod influences endogenous indoleamines in cultured green alga

25. Satoh K, Smith CM, Fork DC. Effects of salinity on primary processes of photosynthesis in the red *Porphyra perforata*. *Plant Physiol.* 1983; 73(3): 643-647.
26. Ferreira KN, Tina M, Iverson TM, Maghlaoui K, et.al. Architecture of the photosynthetic oxygen-evolving center. *Science*. 2004; 303: 1831-1838.
27. Zouni A, Witt HT, Kern J, Fromme P, et.al. Crystal structure of photosystem II from *Synechococcus elongatus* at 38 °A resolution. *Nature*. 2001; 409(6821): 739-743.
28. Allahverdiev SR, Mavituna M, Ganieva R, Nafisi S. Effects of salt stress and synthetic hormone polystimuline K on photosynthetic activity of *Trianea bogotensis* Karst. *Turk J Bot.* 1998; 22: 19-23.
29. Sudhir PR, Pogoryelov D, Kovacs L, Garab G, et al. The effects of salt stress on photosynthetic electron transport and thylakoid membrane proteins in the Cyanobacterium *spirulina platensis*. *J Biochem Mol Biol.* 2005; 38 (4): 481-485.
30. Zhao GQ, Ma BL, Ren CZ. Growth, gas exchange, chlorophyll fluorescence and ion content of naked oat in response to salinity. *Crop Sci.* 2007; 47: 123-131.
31. Rai MK, Shende S, Strasser RJ. JIP test for fast fluorescence transients as a rapid and sensitive technique in assessing the effectiveness of arbuscular mycorrhizal fungi in zea mays: Analysis of chlorophyll a fluorescence. *Plant Biosyst.* 2008; 142: 191-198.
32. Chen H, Jiang J, Wu G. Effect of salinity changes on the growth of *Dunaliella salina* and its isozyme activities of glycerol-3-phosphate dehydrogenase. *J Agricult Food Chem.* 2009; 57(14): 6178-6182.
33. Ekman P, Yu Sh. Pedersen M. Effects of altered salinity, darkness and algal nutrient status on floridoside and starch content, α-galactosidase activity and agar yield of cultivated *Gracilaria sordida*. *Br Phycol J.* 1991; 26: 123-131.

## Effect of Salt Stress on PSII Efficiency of *Dunaliella bardawil* under Light and Dark Conditions

Ghasemi Kalachai M.S. M.Sc.<sup>1</sup>, Shariati M. Ph.D. <sup>2\*</sup>

1. M.Sc. Graduate, Department of Biology, Faculty of Science, University of Isfahan, Isfahan

2. Department of Biology, Faculty of Science, University of Isfahan, Isfahan

\* Email corresponding author: mansour\_shariati@yahoo.com

Received: 13 Mar. 2012

Accepted: 23 Jul. 2012

### Abstract

**Aim:** In this study, the effect of salt stress on PSII of *Dunaliella bardawil* as a photosynthesis species model was investigated to determine more effects of this stress and appropriate solutions to salt stress.

**Material and methods:** In this study, OJIP-test method was used for analyzing of chlorophyll a fluorescence under stress. Different concentrations of NaCl, 1 to 2 M and 1 to 3 M, were applied at light and dark conditions.

**Results:** The results showed in both light and dark regimes, the rate of Fv/Fo,  $\Phi_{P_0}$ ,  $\Psi_0$ ,  $\Phi_{E_0}$ ,  $\Phi_{R_0}$  and PI<sub>ABS</sub> were reduced by salt stress of 1 to 3 M NaCl at primary hours after salt stress while  $\Phi_{D_0}$  was increased. After first hours, the efficiency of PSII did not increase in dark regime unlike the samples in light condition.

**Conclusion:** According to the results, salt stress led to reduction of water-splitting complex activity and the function of other electron acceptor in PSII. The rate of electron transport to pheophytin, Q<sub>A</sub>, Q<sub>B</sub> and the other electron acceptors is also reduced. Hence it could be finalized that water-splitting complex is the first site damaged by salt stress. On the other hand, studying on salt stress under light and dark regimes showed that light accompanied by the other mechanisms such as photosynthesis and chlorophyll production increase the efficiency of algae system and recover to the condition before stress.

**Key words:** *Dunaliella*, OJIP-test, PSII, Stress